

بررسی رابطه تغییرات دبی آب (رودخانه) چمشیر با شاخص‌های موافق‌تکتونیکی در محل احداث سد چمشیر

مهند مشعل^{*}، محمد رضا صابری^۱، عبدالمحیمد اسدی^۲ و مجتبی احسانی^۳

۱) گروه زمین‌شناسی دانشگاه آزاد اسلامی واحد تهران شمال، Mahdi.Mashal@gmail.com

۲) گروه زمین‌شناسی دانشگاه آزاد اسلامی واحد شیراز

^{*}) عهده‌دار مکاتبات

دریافت: ۹۰/۴/۳۰؛ دریافت اصلاح شده: ۸۹/۱۰/۱۹؛ پذیرش: ۸۹/۱۰/۳۰؛ قابل دسترس در تارنما: ۹۰/۷/۳۰

چکیده

در این تحقیق شاخص‌های موافق‌تکتونیکی و وضعیت دبی رودخانه در بالادست و پایین دست محور سد مخزنی در حال احداث چمشیر مورد بررسی قرار گرفت. مطالعات انجام شده نشان داد که مهم‌ترین عامل شکل‌گیری و تکامل منطقه، ساختارهای فعال تکتونیکی، از جمله گسل‌های رانده و نرمال موجود منطقه هستند. همچنین اندازه‌گیری دبی در فصول مختلف، به ویژه در شرایطی که تغییر انداک بود، نشان از افت حدود ۱۵ درصدی دبی رودخانه در اطراف ساختگاه داشت. میزان افت و گم‌شدگی آب ناشی از شکستگی و گسل موجود در فاصله حدود ۲۰۰ متری بالادست و در ۱۵۰۰ متری پایین دست سد مشاهده شد.

واژه‌های کلیدی: دبی، چمشیر، موافق‌تکتونیک، سد.

۱- مقدمه

در همین راستا در این مطالعه، ابتدا ساختارهای عمده منطقه (2002) در همین راستا در این مطالعه، ابتدا ساختارهای عمده منطقه) یعنی گسل‌ها، چین‌ها و درزهای مورد بررسی قرار گرفت و سپس اثرات گسل‌ها بر دبی رودخانه بررسی شد.

۲- روش تحقیق

هدف از این مطالعه، یافتن نقش عوامل تکتونیکی و موافق‌تکتونیکی در شکل‌گیری الگوی پدیده‌های طبیعی و جهت حرکت جریان و تغییرات دبی آب در منطقه مورد مطالعه می‌باشد. به این منظور علاوه بر مطالعه‌ی عکس‌های هوایی، داده‌های ماهواره‌ای و مطالعات قبلی، عملیات صحرازی با اندازه‌گیری‌ها و ابزارهای بسیار دقیق در منطقه انجام شد. باید اشاره نمود که برای تعیین سطح فعالیت تکتونیکی در منطقه، به شاخص‌های موافق‌تکتونیکی توجهی ویژه‌ای شده است.

منطقه چمشیر به دلیل دارا بودن منابع نفتی (وجود سازندهایی با قابلیت ذخیره نفت و سنگپوش) از دیرباز مورد توجه زمین‌شناسان شرکت نفت ایران بوده است. همچنین در سال‌های اخیر، به علت مناسب بودن مسیر رودخانه و حوزه آبریز، مطالعاتی در زمینه بررسی قابلیت منطقه برای ایجاد یک سد صورت گرفته است. با توجه به وجود گسل‌های فعال و سابقه‌ی لرزه‌خیزی تاریخی و دستگاهی برای ایجاد یک سد بزرگ با ظرفیت بالا، محاسبات دبی رودخانه در مقاطع مختلف بالادست و پایین دست و شناسایی موافق‌تکتونیک حوزه با اهمیت می‌باشد.

جهت بررسی مطالعات تکتونیکی در هر منطقه شناخت اولیه ساختارها از اهمیت زیادی برخوردار است (Keller & Pinter ۲۰۰۴)

۱۳- بحث

۱۳-۱- موقعیت مغارافیایی

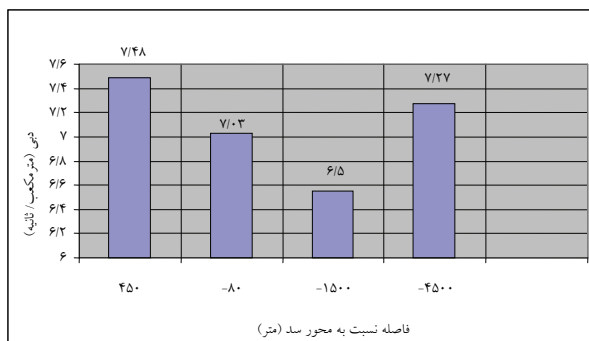
منطقه چمشیر در جنوب استان کهگیلویه و بویراحمد و در جنوب شرق شهرستان گچساران در محدوده طول‌های "۱۳°۵۵'۱۳" تا "۱۳°۰۹'۴۵" در قسمتی از "۵۰°۵۴'۰۶" و عرض‌های "۳۰°۰۹'۰۵" تا "۳۰°۰۹'۴۵" در قسمتی از رودخانه زهره واقع شده است. منطقه چمشیر از نظر زمین‌شناسی تا شعاع تقریباً ۱۵۰ کیلومتری، جزء زاگرس چین خورده محسوب می‌گردد. منطقه مورد مطالعه در شمال، پس از گذراندن این منطقه چین خورده، هم‌جوار زاگرس مرتفع و در قسمت جنوب و جنوب غرب هم‌جوار زاگرس پست یا دشت خوزستان است.

تبخیر باشد، حدود ۴۰۷ لیتر بر ثانیه فرار و گم‌شدن آب را داشته‌ایم
(تصاویر ۱ و ۲).

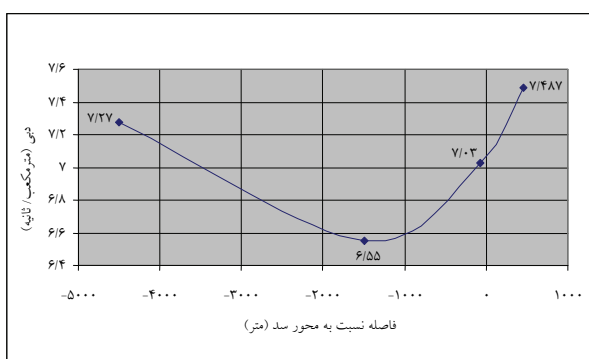
جدول ۱- میزان دبی اندازه‌گیری شده آب رودخانه در فصول مختلف بررسی وضعیت دبی رودخانه نسبت به محور سد در یک زمان(روز)

تاریخ اندازه‌گیری	میزان دبی	فاصله ایستگاه نسبت به محور سد	تاریخ اندازه‌گیری			ردیف
			طول	عرض		
۱۳۸۷/۷/۲	۷/۴۸۷	۴۵۰	۳۰ ۱۰ ۴۵	۵۰ ۵۲ ۴۱	۱	
۱۳۸۷/۷/۲	۷/۰۰۳	-۸۰	۳۰ ۱۰ ۵۸	۵۰ ۵۲ ۲۱	۲	
۱۳۸۷/۷/۲	۷/۰۵۵	-۱۵۰۰	۳۰ ۱۱ ۱۴	۵۰ ۵۱ ۳۷	۳	
۱۳۸۷/۷/۲	۷/۲۷۶	-۴۵۰۰	۳۰ ۱۱ ۰۱	۵۰ ۵۲ ۱۸	۴	
۱۳۸۶/۱۱/۱۶	۷/۴۱۷	۷۷۰۰	۳۰ ۰۹ ۰۳	۵۰ ۵۵ ۳۳	۱	
۱۳۸۶/۱۱/۱۶	۱۶/۵۱۶	-۱۵۰۰	۳۰ ۱۱ ۱۴	۵۰ ۵۱ ۳۲	۲	
۱۳۸۷/۲/۱۰	۱۳/۰۷	۵۰۰۰	۳۰ ۰۹ ۳۳	۵۰ ۵۵ ۲۲	۱	
۱۳۸۷/۲/۱۰	۱۲/۳۴۵	-۱۵۰۰	۳۰ ۱۱ ۱۴	۵۰ ۵۱ ۲۲	۲	

تذکر: فاصله بالای محور سد با عالمت + و پایین سد با عالمت - نمایش داده شده است



تصویر ۱- این نمودار میزان دبی رودخانه را در مقاطع مختلف نسبت به محل احداث سد نشان می‌دهد (میله‌ای)



تصویر ۲- این نمودار میزان دبی رودخانه را در مقاطع مختلف نسبت به محل احداث سد نشان می‌دهد (خطی)

۱۳-۲- زمین‌شناسی ساختمانی سافتگاه سد در منطقه چمشیر

کمربند چین و راندگی زاگرس روی حاشیه شمال‌شرقی صفحه عربی و روی پی‌سنگ پرکامبرین واقع شده است. این کمربند یک

دبی رودخانه زهره در فصول مختلف مورد بررسی قرار گرفت. با توجه به این که اندازه‌گیری‌ها در روزهای ابری صورت گرفته افت ناشی از تبخیر بسیار کم می‌باشد و این افت تقریباً به‌طور کامل ناشی از فرار آب بوده است.

اولین اندازه‌گیری در بهمن ماه سال ۱۳۸۶ در فاصله ۷۷۰۰ متری بالادست و ۱۵۰۰ متری پایین دست محل احداث سد دبی رودخانه انجام شد. میزان دبی در بالادست، ۱۷/۴۱۷ متر مکعب بر ثانیه و در پایین دست ۱۶/۵۱۶ متر مکعب بر ثانیه اندازه‌گیری شد. همچنین میزان افت دبی ۹۰۱ لیتر بر ثانیه محاسبه گردید. با توجه به این که اندازه‌گیری در فصل زمستان و یک روز ابری انجام شد، افت ناشی از تبخیر خیلی کم بوده و این افت تقریباً همگی ناشی از فرار آب بوده است (جدول ۱).

سپس در اردیبهشت سال ۱۳۸۷ در فاصله ۵۵۰۰ متری بالادست و ۱۵۰۰ متری پایین دست محل احداث سد، دبی رودخانه اندازه‌گیری شد. میزان دبی در بالادست ۱۳/۰۷ متر مکعب بر ثانیه، در پایین دست ۱۲/۳۴۵ متر مکعب بر ثانیه و میزان افت آن ۷۲۵ لیتر بر ثانیه اندازه‌گیری شد. میزان افت دبی ۷۲۵ لیتر بر ثانیه بوده، با فرض این که از میزان افت فوق ۱۰۰ لیتر بر ثانیه ناشی از تبخیر باشد، حدود ۶۲۵ لیتر بر ثانیه فرار و گم‌شدن آب داشته‌ایم (جدول ۱).

نهایتاً در مهر سال ۱۳۸۷، ۱۳۸۷، در فاصله ۴۵۰ متری بالادست و فاصله‌های ۸۰ متری، ۱۵۰ متری و ۴۵۰ متری پایین دست محل احداث سد، دبی رودخانه اندازه‌گیری شد. میزان دبی در بالادست ۷/۴۸۷ متر مکعب بر ثانیه و در پایین دست به ترتیب ۷/۰۳ و ۷/۲۷۶ متر مکعب بر ثانیه اندازه‌گیری شد. میزان افت دبی در فاصله ۴۵۰ متری بالادست نسبت به نقطه ۸۰ متری پایین دست، ۴۵۷ لیتر بر ثانیه محاسبه گردید. با فرض این که از میزان افت فوق ۵۰ لیتر بر ثانیه ناشی از

(Solaymani Azad 2010). براساس میزان اطلاعات به دست آمده از این شاخص‌ها، مناطق مختلف از نظر فعالیت تکتونیکی در ۵ دسته قرار می‌گیرند (Bull & Mcfadden 1977).

۳-۱- پیچ و خم پیشانی کوهستان (mountain front sinosity) شاخص پیچ و خم پیشانی کوهستان در منطقه مورد مطالعه، با اندازه‌گیری مقادیر L_{mf} ، L_S در ۶ ایستگاه، محاسبه گردید. بر اساس جدول ۲، مقادیر این شاخص در منطقه بین $1/10^3$ در S2-S3 تا $1/11$ در S4-S5 متغیر بوده و تعداد متوسط آن در تمام منطقه برابر با $1/10^7$ می‌باشد (تصویر ۳، جدول ۲).

۳-۲- نسبت پهنه‌ای گف دره به ارتفاع آن (Vf ratio) مقدار شاخص نسبت پهنه‌ای گف دره به ارتفاع آن، در ۱۵ ایستگاه اندازه‌گیری و محاسبه شد. کمترین مقدار این شاخص در ایستگاه شماره ۶ ($1/15$) و بیشترین مقدار آن در ایستگاه شماره ۱۴ محاسبه گردید. میانگین این شاخص $1/72$ اندازه‌گیری شد که این مقدار نشان‌دهنده دره‌های U شکل در منطقه می‌باشد (جدول ۳).

منطقه جوان است که در اثر برخورد صفحات عربی و ایران مرکزی دچار کوتاه‌شدگی و ضخیم‌شدگی شده است (Berberian 1995). ساخت‌گاه سد چمشیر، در جنوب قسمتی از گسل جبهه کوهستان زاگرس (منطقه گچساران) و در زیر واحد زاگرس چین‌خورده قرار دارد. با استفاده از تصاویر ماهواره‌ای، برآورده ریخت زمین‌ساختی در محل ساخت‌گاه، برای شناسایی عناصر مهم ساختاری انجام شده است. محدوده مورد مطالعه، در کمربند چین‌خورده – رانده زاگرس قرار داشته که متشکل از چین‌های تاقدیسی جعبه‌ای شکل طویل شده با طول موج‌های تقریباً یکسان می‌باشد و در طی زمان میوسن و پلیوسن چین‌خورده است. در حالی که تبخیری‌های میوسن مانند سازند گچساران، به صورت جریانی چین‌خورده‌اند (آقاباتی ۱۳۸۴، خسرو‌تهرانی ۱۳۸۴).

۳-۳- تمیل مورفوگتکنونیکی منطقه چمشیر

به طور کلی، شاخص‌های مورفوگتکنونیکی علاوه بر انعکاس وضعیت تکتونیکی منطقه، تحت تأثیر وضعیت آب، رطوبت، ساختار، مقاومت و جنس سنگ‌های منطقه نیز قرار دارند (Granja Bruña 2009).



تصویر ۳ - ایستگاه‌های اندازه‌گیری شاخص پیچ و خم پیشانی کوهستان در منطقه مورد مطالعه (تصویر ماهواره‌ای بریده شده از تصاویر (Google earth

جدول ۲- شاخص پیچ و خم پیشانی کوهستان

طول	عرض	فاصله ایستگاهها	L_{mf} (m)	L_S (m)	L_{mf} / L_S
50 50 07	30 12 23	S1-S2	709	670	1.058209
50 51 25	30 12 10	S2-S3	1551	1500	1.034
50 51 16	30 11 49	S3-S4	1574	1450	1.085517
50 52 00	30 11 22	S4-S5	2125	1916	1.109081
50 53 05	30 10 55	S5-S6	2664	2481	1.073761
50 54 21	30 10 07		0	0	

جدول ۳- شاخص مورفو‌تکتونیکی رودخانه

Number	موقعیت نسبت به پل اصلی	$E_{SC}(m)$	مختصات سمت راست			مختصات سمت چپ			E_{ld}	V_{fw}	V_f
			x	y	E_{rd}	x	y				
1	130	503.5	488621	3338331	530	488426	3338224	535	30	1.034	
2	590	503	488339	3338688	532	488215	3338834	527	45	1.698	
3	-5	471.5	488194	3338950	507	488149	3338930	503	8.25	0.246	
4	-50	471	488112	33339007	514	488105	3338980	520	9	0.196	
5	-100	463	488076	3339025	520	488066	3338990	525	9.5	0.16	
6	-200	460	487933	3339068	552	487941	3339028	541	13	0.15	
7	-300	459	487857	3339114	551	487825	3339053	552	70	0.757	
8	-350	458	487778	3339133	564	487748	3339062	567	24	0.223	
9	-400	457	487732	3339173	573	487706	3339098	577	40	0.339	
10	-450	456	487721	3339276	594	487666	3339125	587	60	0.446	
11	-500	454	487723	3339300	600	487609	3339142	597	80	0.554	
12	-680	450	487723	3339300	630	487810	3339042	621	150	0.855	
13	50	479	488173	3338876	499	488156	3338859	505	7	0.304	
14	1500	503	488901	3338058	535	488743	3337913	544	17	3.42	
15	5500	507			532	491455	3335895	561	135	3.418	

مقدار میانگین این شاخص در منطقه ۱/۱۳۱ می‌باشد. نتایج حاصله در

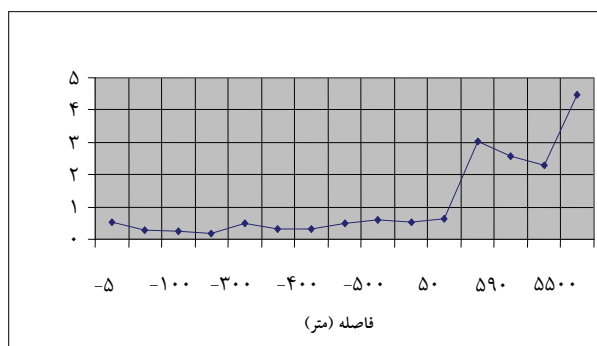
جدول ۴ آورده شده است. محاسبه نسبت V در منطقه مورد مطالعه، بیانگر آن است که در منطقه حالت‌های مختلفی از دره (u, v) وجود دارد (جدول ۴). (V ratio) V

مقدار این شاخص در ۱۵ ایستگاه در امتداد تاقدیس کاردریگون اندازه‌گیری شده است. مقدار شاخص مذکور بین ۰/۱۸۳ در ایستگاه شماره ۶ تا ۴/۴۵۸ در ایستگاه ۱۵ محاسبه گردید.

جدول ۴- نسبت V (V ratio) شاخص مورفو‌تکتونیکی رودخانه برای ۱۵ ایستگاه

Number	موقعیت نسبت به پل اصلی	$E_{SC}(m)$	ارتفاع کف دره	ارتفاع دره ترانشه دره	ارتفاع بالای (h)	عرض بالا	عرض پایین	AV	AC	$V=AV/AC$
1	130	503.5	530	26.5	222	30	3339	1102.533	3.028	
2	590	503	532	29	190	45	3407.5	1320.37	2.580	
3	-5	471.5	507	35.5	50	8.25	1033.9	1978.593	0.522	
4	-50	471	514	43	28	9	795.5	2902.93	0.274	
5	-100	463	520	57	37	9.5	1325.3	5100.93	0.259	
6	-200	460	552	92	40	13	2438	13288.48	0.183	
7	-300	459	551	92	69	70	6394	13288.48	0.481	
8	-350	458	564	106	76	24	5300	17640.52	0.300	
9	-400	457	573	116	78	40	6844	21125.92	0.323	
10	-450	456	594	138	160	60	15180	29899.08	0.507	
11	-500	454	600	146	195	80	20075	33466.12	0.599	
12	-680	450	630	180	155	150	27450	50868	0.539	
13	50	479	499	20	32	7	390	628	0.621	
14	1500	503	535	32	214	17	3696	1607.68	2.298	
15	5500	507	532	25	215	135	4375	981.25	4.458	

شکل) و عملکرد گسل معکوس است (تصویر ۶، جدول ۴).



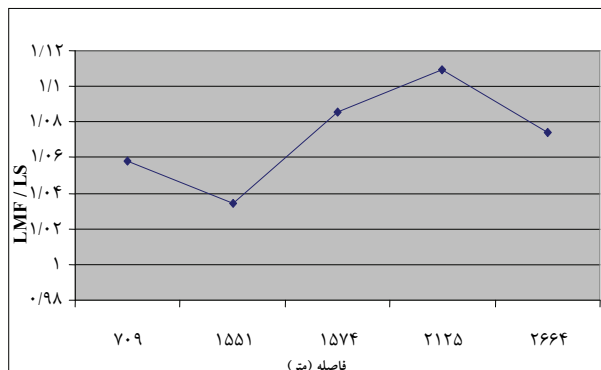
تصویر ۶- این نمودار نشان‌دهنده نسبت ۷ دره در مسیر رودخانه زهره در محدوده احداث سد چمشیر است. (خطی)

۱۳-۴-۴- مماسیه پارامتر پیچ و فرم پیشانی کوهستان (Smf)

شاخص پیچ و خم پیشانی کوهستان، در یال جنوبی تاقدیس کاردریگون (شمال و شمال‌شرق محل احداث سد) اندازه‌گیری شد. میزان متوسط شاخص، ۱/۰۷ محسوبه گردید. با توجه به این‌که این شاخص دارای پیشانی تقریباً مستقیم و فرورفتگی و بیرون‌زدگی کمتری بوده، بنابراین دارای فعالیت تکتونیکی قائم بوده است (تصویر ۴). به عبارتی گسل نرمال فعالیت دارد و باعث افتادگی کف رودخانه به میزان تقریباً ۲۰ متر شده که این مورد در محل احداث سد نمایان است (تصویر ۵).

۱۳-۴-۵- مماسیه نسبت پهنای کف دره به ارتفاع آن (V_f)

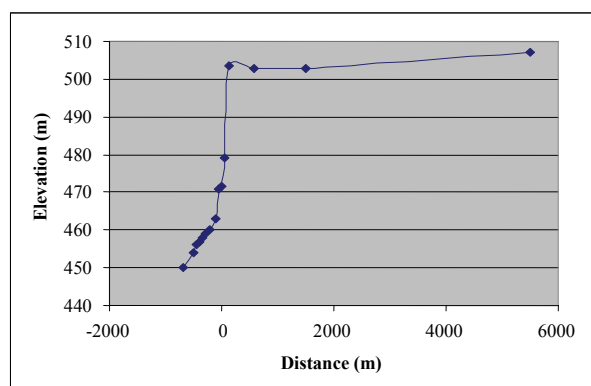
مقدار این شاخص در ۱۵ ایستگاه در امتداد تاقدیس کاردریگون و در مسیر رودخانه زهره (محدوده سد چمشیر) اندازه‌گیری شد. مقدار شاخص مذکور در محدوده پایین‌دست سد همگی کمتر از عدد ۱ بوده و در بالادست تقریباً همگی بزرگ‌تر از ۱ اندازه‌گیری شدند. مماسیه نسبت (V_f) در این منطقه و پایین بودن آن، بیانگر زیاد بودن میزان بالآمدگی، وجود دره‌های عمیق و V شکل و عملکرد تکتونیک قائم (گسل نرمال) می‌باشد (تصویر ۷).



تصویر ۷- این نمودار نشان‌دهنده پیچ و خم پیشانی کوهستان در امتداد تاقدیس کاردریگون است. (خطی)



تصویر ۷- نمایی از افتادگی کف رودخانه حدود ۲۰ متر به علت عملکرد گسل نرمال (دید به سمت جنوب شرق)



تصویر ۸- این نمودار نشان‌دهنده افتادگی کف رودخانه به علت عملکرد گسل نرمال است.

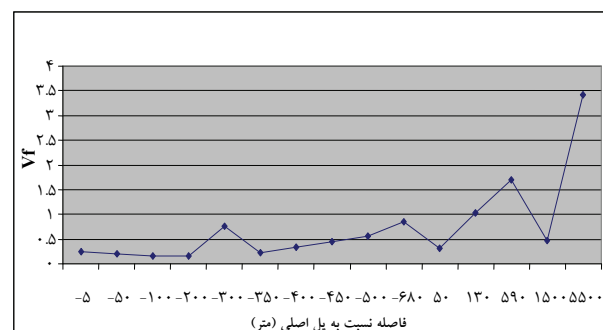
۱۳-۴-۶- مماسیه نسبت V

مقدار این شاخص در ۱۵ ایستگاه در امتداد تاقدیس کاردریگون اندازه‌گیری شد. مقدار شاخص مذکور در محدوده سد اغلب کمتر از ۱ بوده و مماسیه نسبت V در این منطقه بیانگر عملکرد تکتونیک قائم (گسل نرمال) و همچنین وجود دره V شکل می‌باشد. البته در بالادست و پایین‌دست سد (۱۵۰۰ متری پایین‌تر) دره‌ها بیشتر پهن (U

۱۴-۷- اندازه‌گیری سینوسیتیدن (ودفانه) (Sinuosity river)

با توجه به میزان Sin اندازه‌گیری شده در محدوده سد چمشیر، مشخص شد که حداقل مقدار، $3/458$ در $1/5$ تا 2 کیلومتری پایین دست سد بوده که احتمالاً به علت بالا آمدگی بر اثر عملکرد گسل می‌باشد.

در بالادست سد، این میزان نزدیک به عدد 1 بوده که نشان می‌دهد از لحظه تکتونیکی آرام می‌باشد (تصاویر 9 و 10 و جدول 5).



تصویر ۸- این نمودار نشان‌دهنده نسبت V_f در مسیر رودخانه زهره در محدوده احداث سد چمشیر می‌باشد. (خطی)

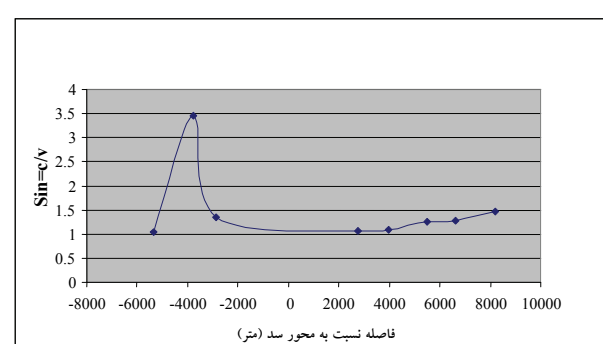


تصویر ۹- محل ایستگاه‌های اندازه‌گیری حرکت موجی (Sinuosity) در مسیر رودخانه زهره، در محدوده سد چمشیر (تصویر ماهواره‌ای بریده شده از Google earth تصاویر)

۵- نتیجه‌گیری

میزان افت دبی در فاصله 450 متری بالادست نسبت به نقطه 1500 متری پایین دست، 937 لیتر بر ثانیه بوده است. بنابراین با فرض این که از میزان افت فوق 80 لیتر بر ثانیه ناشی از تبخیر باشد، حدود 857 لیتر بر ثانیه فرار و گم شدنگی آب داشته‌ایم. همچنین میزان افت دبی در فاصله 450 متری بالادست نسبت به نقطه 4500 متری پایین دست، به میزان 211 لیتر بر ثانیه بوده که با توجه به فاصله زیاد 5 کیلومتری و پهن بودن رودخانه در پایین دست، می‌توان میزان افت فوق را به عملکرد تبخیر نسبت داد.

بر اساس موارد فوق می‌توان نتیجه گرفت که میزان افت و گم شدنگی آب، ناشی از شکستگی و گسلی بوده که در فاصله اندکی (حدود 200 متری) در بالادست محل احداث سد و در 1500 متری پایین دست سد وجود داشته است. این میزان افت دبی، در فاصله 5 کیلومتری جبران می‌شود، به عبارتی در این فاصله مقداری از آب گم شده و در پایین دست سد مجدداً بازیافت می‌شود. تصاویر ماهواره‌ای، تفاوت لیتلوزی و بازدید صحرایی، این موضوع را تصدیق می‌کنند.



تصویر ۱۰- نمودار اندازه‌گیری (Sinuosity river)

جدول ۵- این جدول نشان‌دهنده حالت حرکت موجی (Sinuosity) رودخانه زهره در محدوده سد چمشیر می‌باشد.

ردیف	ایستگاه	Valley length(v)	Channel length(c)	SIN=C/V
1	S1-S2	1550	2285	1.474
2	S2-S3	1149	1470	1.279
3	S3-S4	1529	1903	1.244
4	S4-S5	1187	1280	1.078
5	S5-S6	2763	2925	1.058
6	S6-S7	2888	3866	1.338
7	S7-S8	903	3123	3.458
8	S8-S9	1547	1594	1.030

مراجع

آقانباتی، س.ع.، ۱۳۸۵، "زمین‌شناسی ایران"، سازمان زمین‌شناسی و
اکتشافات معدنی کشور.

خسرو‌تهرانی، خ.، ۱۳۸۴، "زمین‌شناسی ایران"، جلد یک و دو کلیدی.

Berberian, M., 1995, "Master blind thrust faults hidden under the Zagros fold: Active basement tectonics and surface Morphotectonics", *Tectonophysics*, Vol. 241: 193–224.

Bull, W. B. & McFadden, L. D., 1977, "Tectonic geomorphology north and south of the Garlock fault", *California, Proceeding of the 8th Annual Geomorphology Symposium, New York*.

Granja Bruña, J. L., Ten Brink, U. S., Carbó-Gorosabel, A., Muñoz-Martín, A. & Gómez Ballesteros, M., 2009. "Morphotectonics of the central Muertos thrust belt and Muertos Trough (northeastern Caribbean)", *Marine Geology*, Vol. 263 (1-4): 7-33.

Keller, E. A. & Pinter, N., 2002, "Active tectonics", *New York prentice Hall Inc.*

Solaymani Azad, S., François Ritz, J. & Abbassi, M., 2010, "Left-lateral active deformation along the Moshan-North Tehran fault system (Iran): Morphotectonics and paleoseismological investigations", *Tectonophysics*, In Press, Accepted Manuscript, Available online 27 September 2010.